

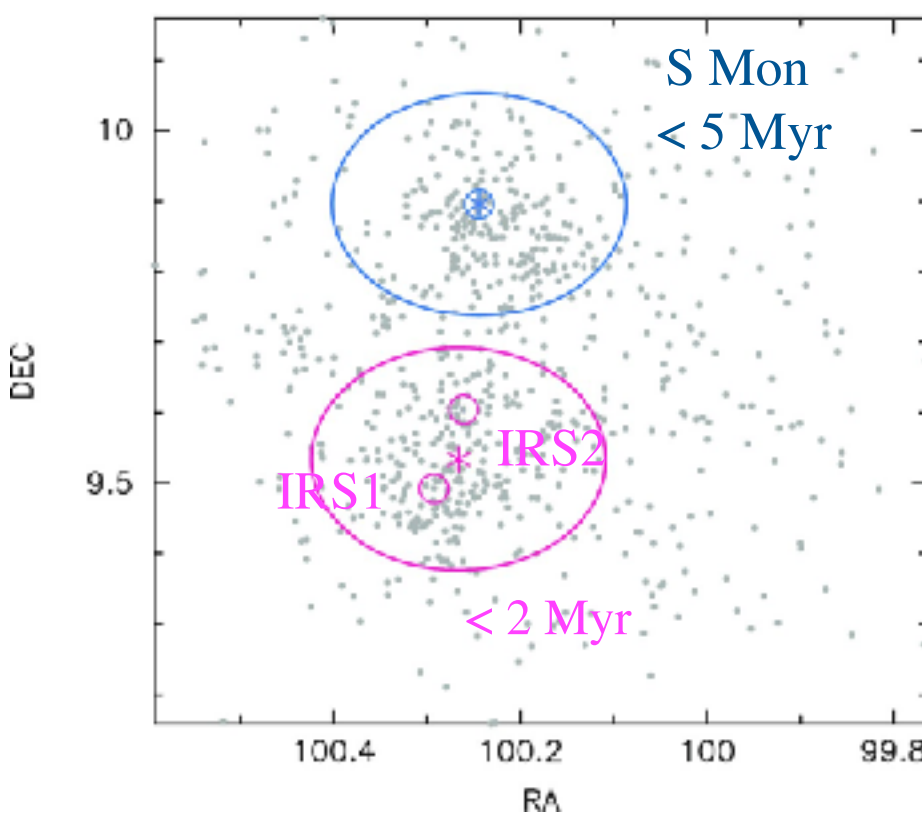
Star Formation News Letter #348 Nos. 19-23

- No. 19 Constraints on star formation in NGC 2264, R.J. Parker & C. Schoettler, MNRAS, 510, 1136 (2022)
- No. 23 Constraining the initial conditions of NGC 2264 using ejected stars found in Gaia DR2, C. Schoettler et al. MNRAS, 510, 3178 (2022)
- No. 20 Sh 2-301: a blistered Hii region undergoing star formation, R. Pandey et al., ApJ, 926, 22 (2022)
- No. 21 An upper limit on late accretion and water delivery in the Trappist-1 exoplanet system, S.N. Raymond et al. Nature Astronomy, 6, 80 (2022)
- No. 22 A new method for measuring the 3D turbulent velocity dispersion of molecular clouds, M. Stewart & C. Federrath, MNRAS, 509, 5237 (2022)

No. 19 Constraints on star formation in NGC 2264, R.J. Parker & C. Schoettler, MNRAS, 510, 1136 (2022)

No. 23 Constraining the initial conditions of NGC 2264 using ejected stars found in Gaia DR2, C. Schoettler et al. MNRAS, 510, 3178 (2022)

Parker+22 Fig. 1



Gaia DR2 での解析の再検討

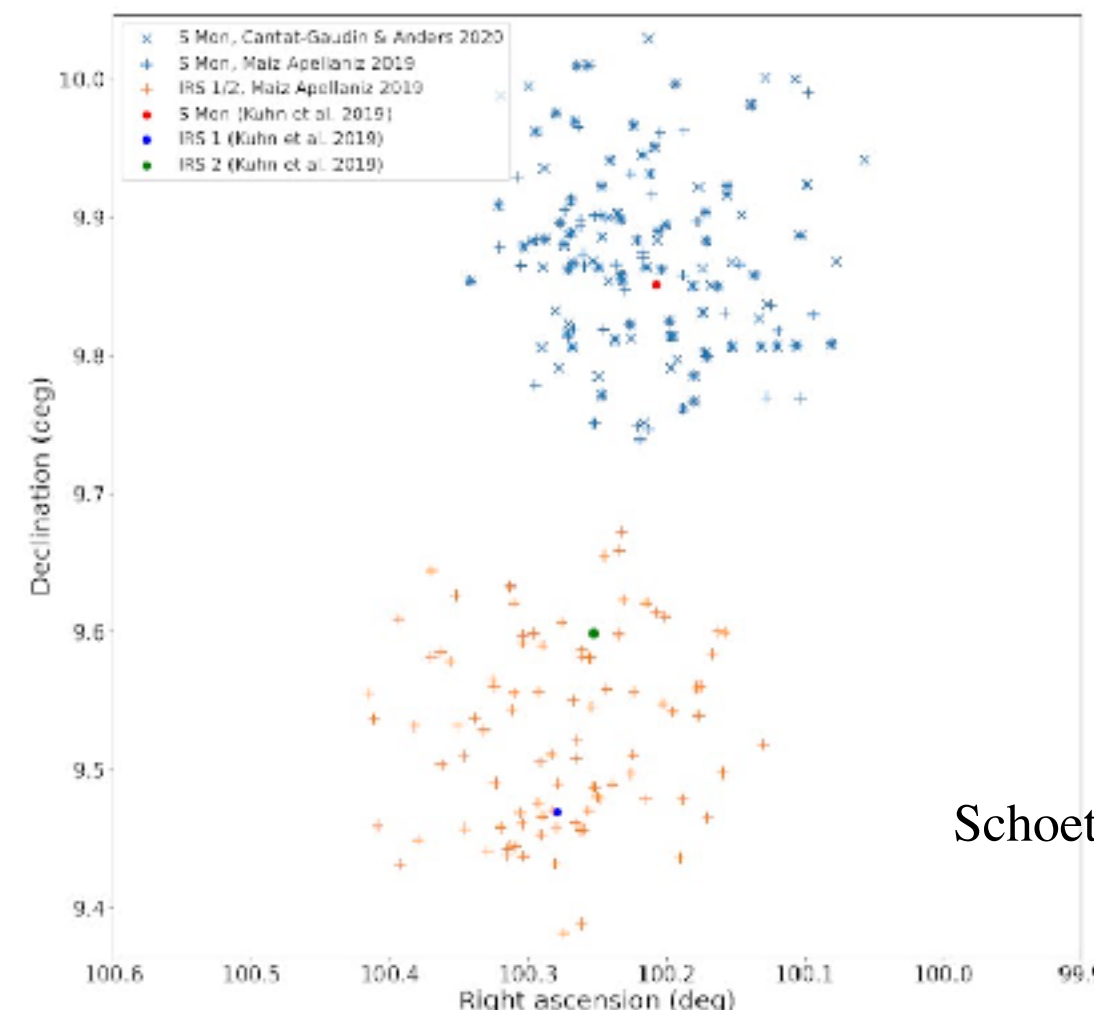
主張は共通: NGC 2264 の初期密度は $\tilde{\rho} \sim 10^4 M_{\odot} pc^{-3}$ で高かった

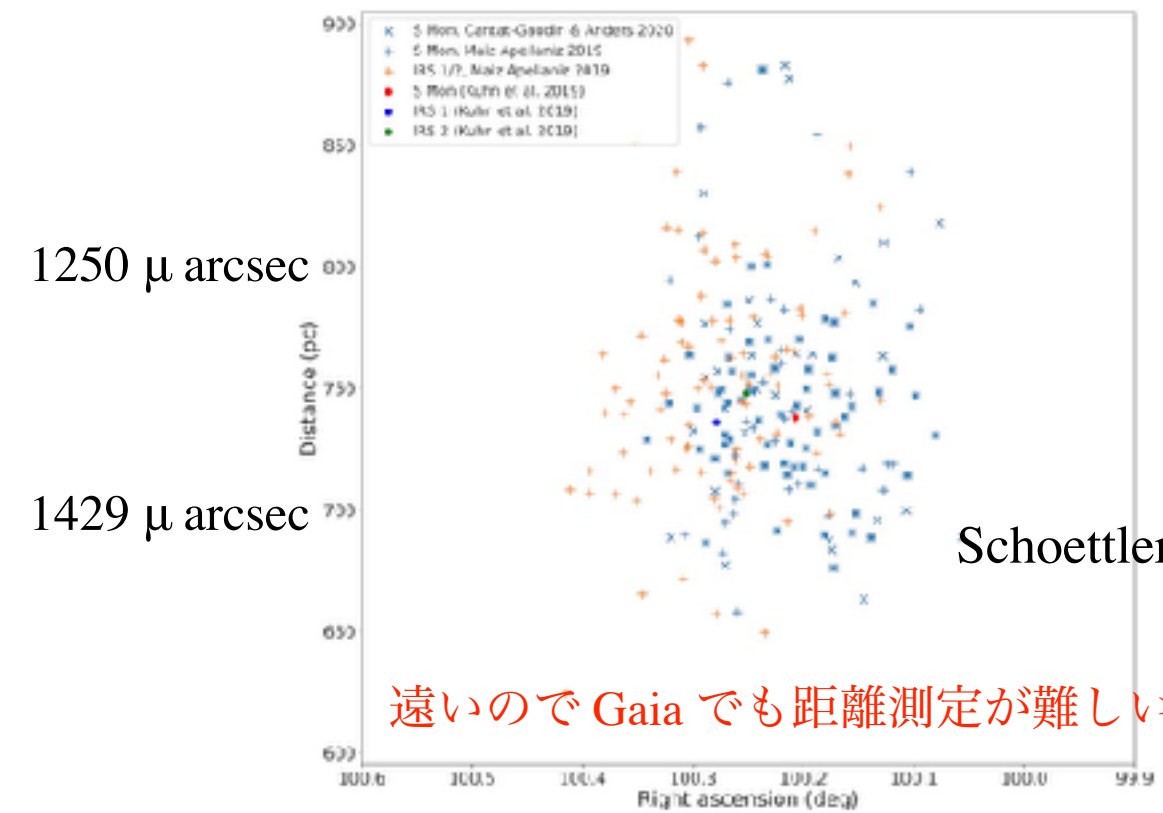
近接遭遇により円盤を力学的に壊わしただろう

Schoettler+21: Gaia によるデータ解析 + Runaway & Walkaway の頻度

Parker & Schoettler 21: Cluster の substructure が残っているから

解析方法は ONC で成功したもの

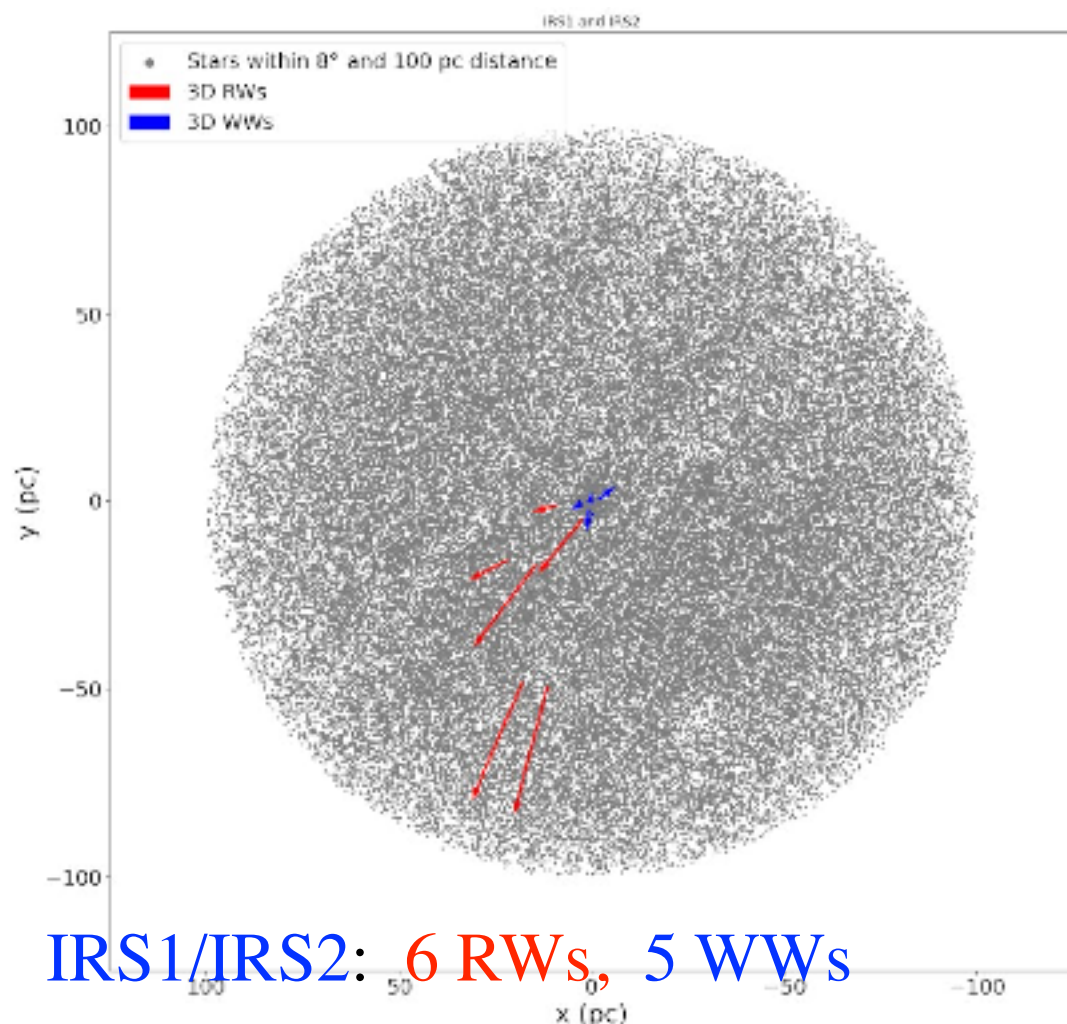
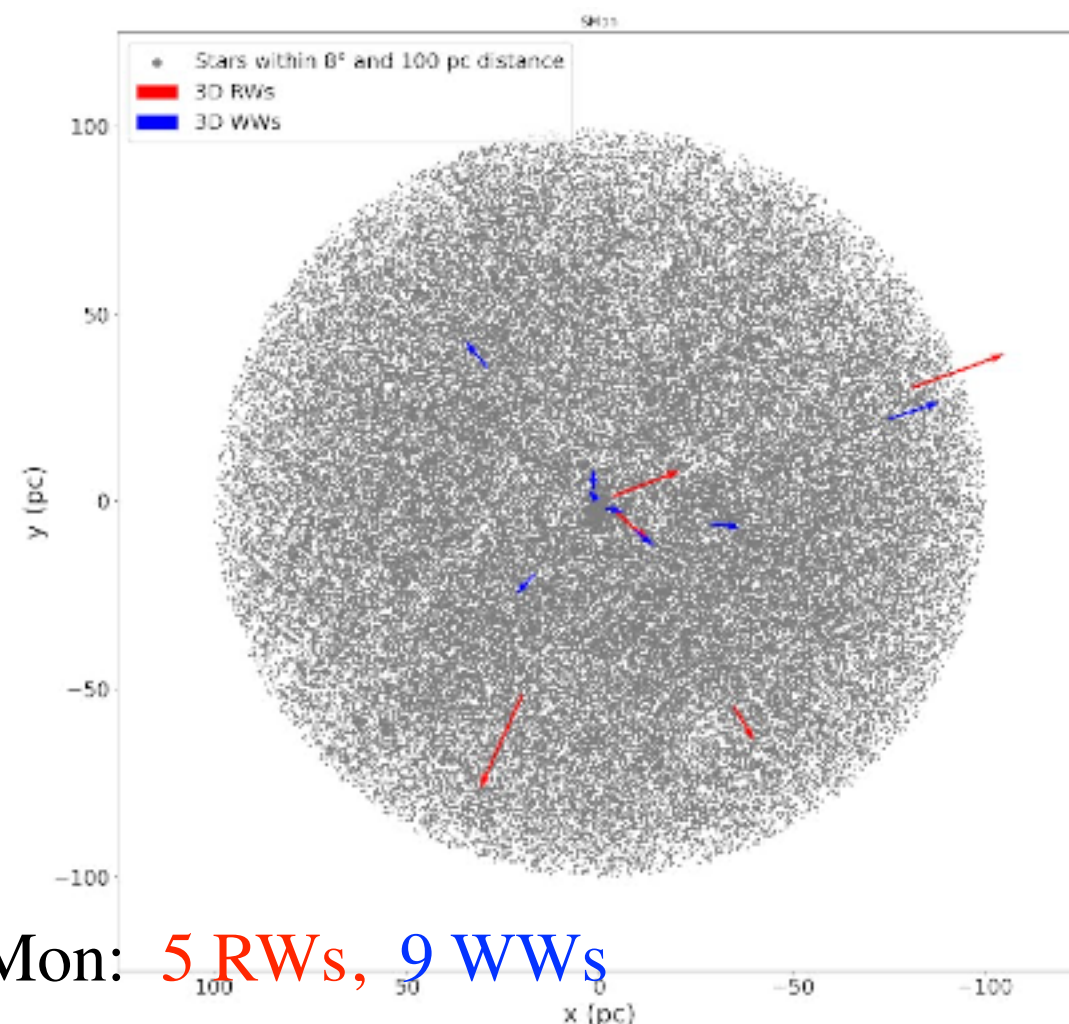




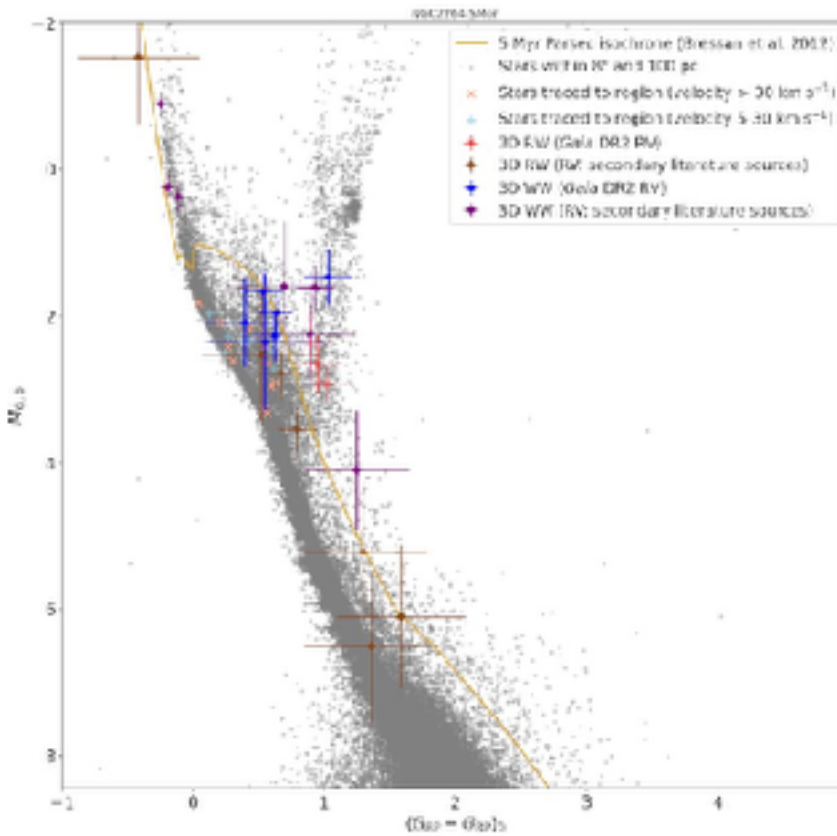
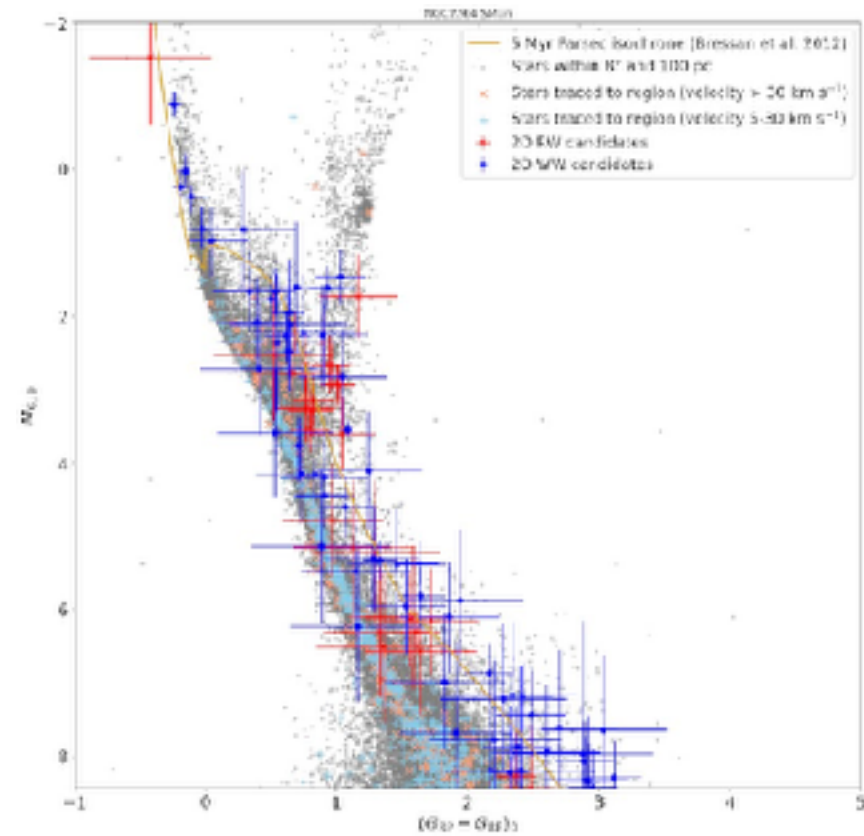
Runaway: $> 30 \text{ km s}^{-1}$ RW
 Walkaway: $\sim 5 \text{ km s}^{-1}$ WW

$$10 \text{ km s}^{-1} = 2.6 \text{ mas yr}^{-1} @800 \text{ pc}$$

Gaia EDR3 様々な補正



Schoettler+21 Fig. 6

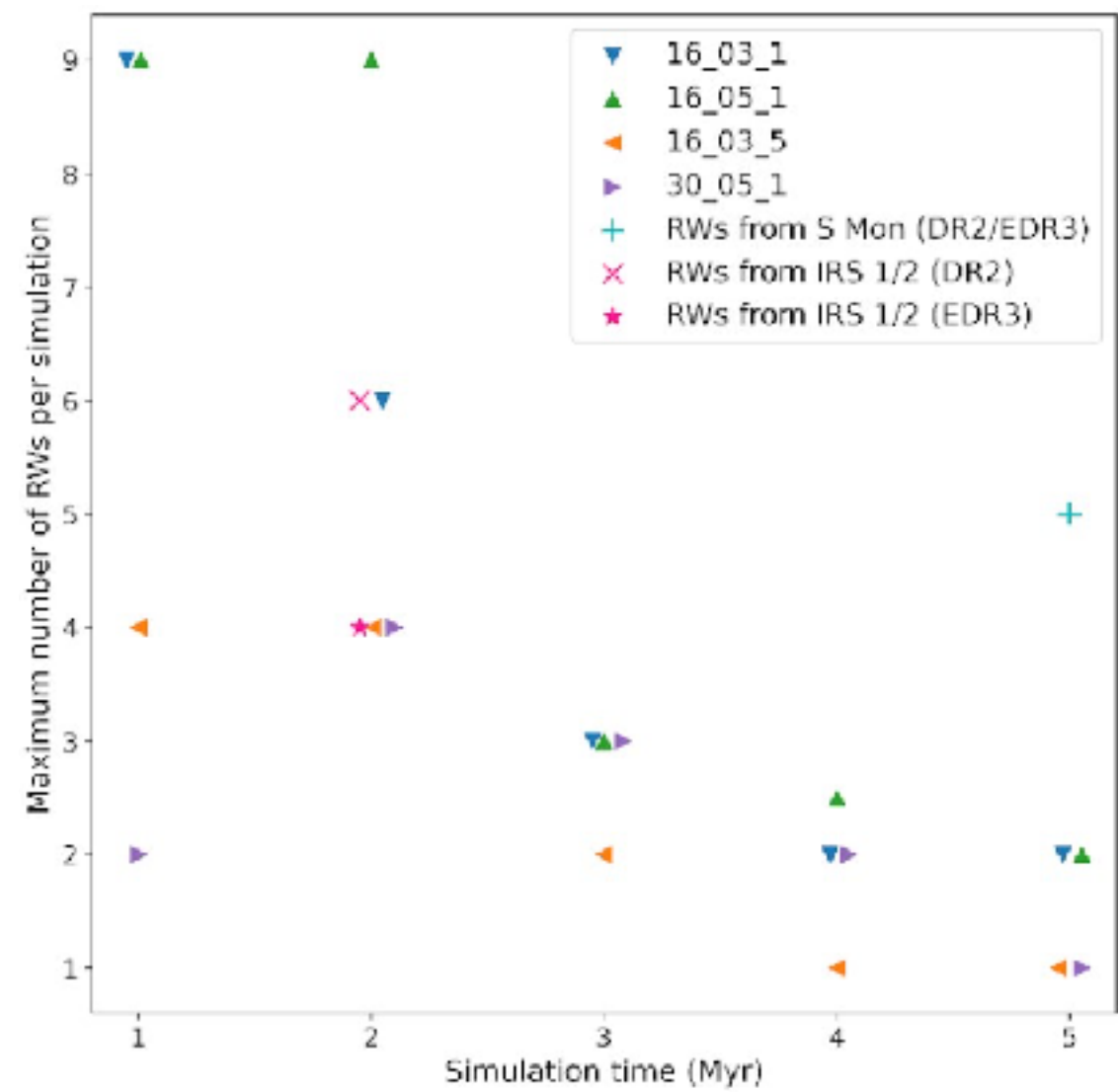


S Mon
RW, WW 候補星, Schoettler+22 Fig. 5

IRS1/IRS2 についても同様の解析. 2 Myr.

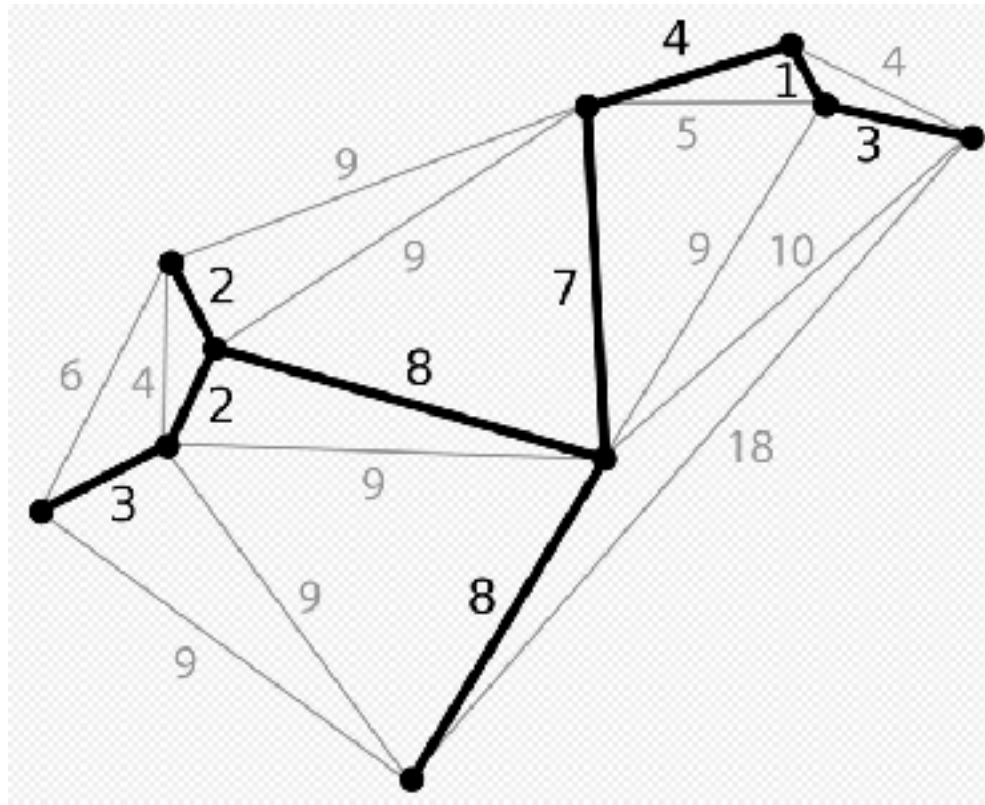
N体シミュレーションとの比較

Schoettler+22 Fig. 5



Cluster の性質を数値化

Minimum Spanning Tree (MST) Wikipedia



Q -parameter is the mean length of the MST, \bar{m} , divided by the mean edge length of the complete graph, \bar{s} :

$Q < 0.7$ clumpy
 $Q > 0.9$ smooth

$$Q = \frac{\bar{m}}{\bar{s}}.$$

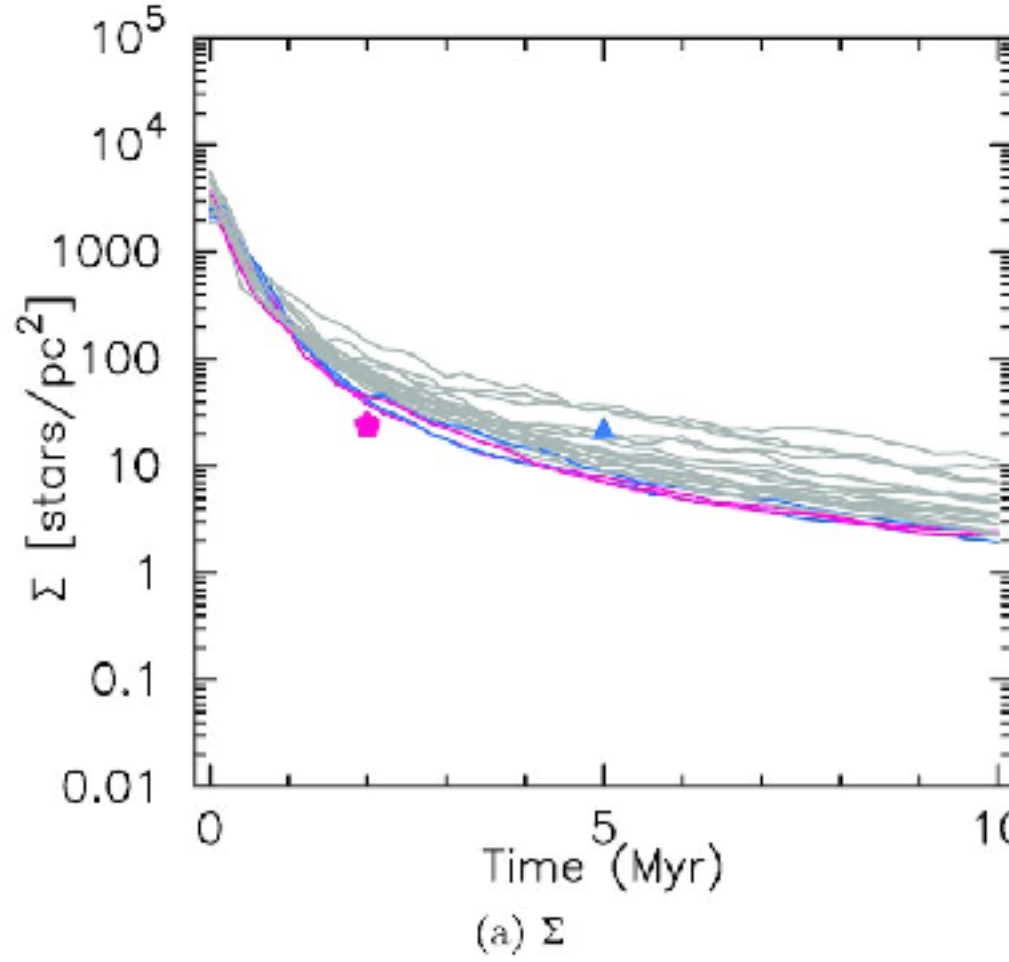
Mass segregation ratio

$$\Lambda_{\text{MSR}} = \frac{\langle l_{\text{average}} \rangle^{+\sigma_{5/6}/l_{\text{subset}}}}{l_{\text{subset}}^{-\sigma_{1/6}/l_{\text{subset}}}},$$

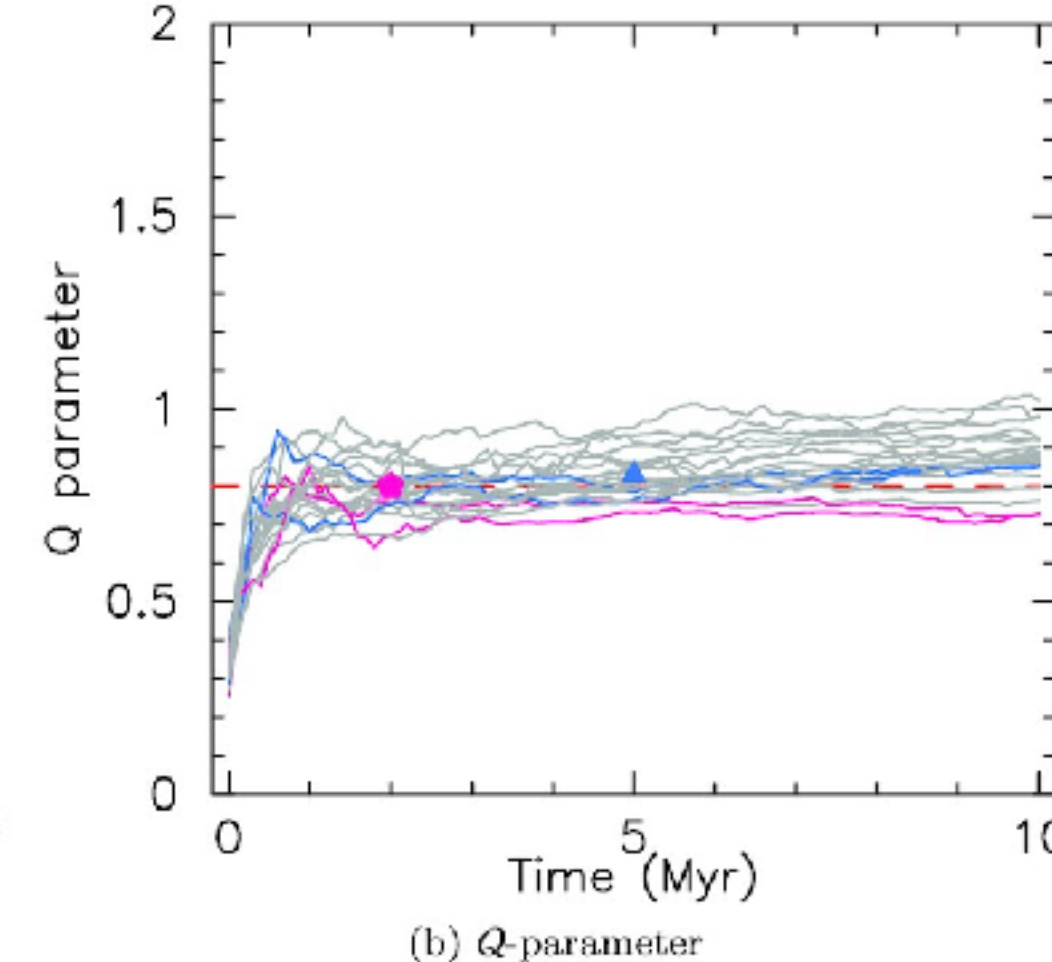
Sufrace density

$$\Sigma = \frac{N-1}{\pi r_N^2},$$

$$N = 10$$

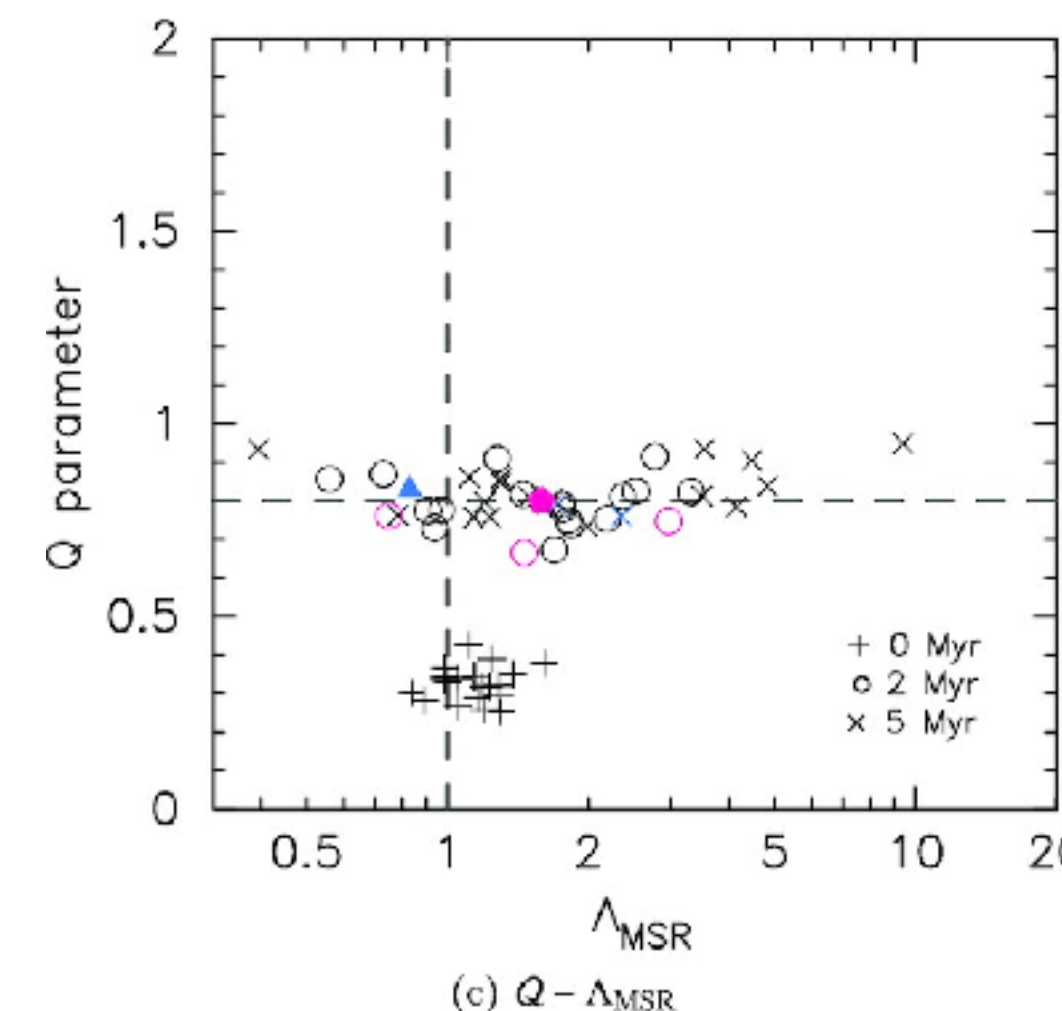


(a) Σ

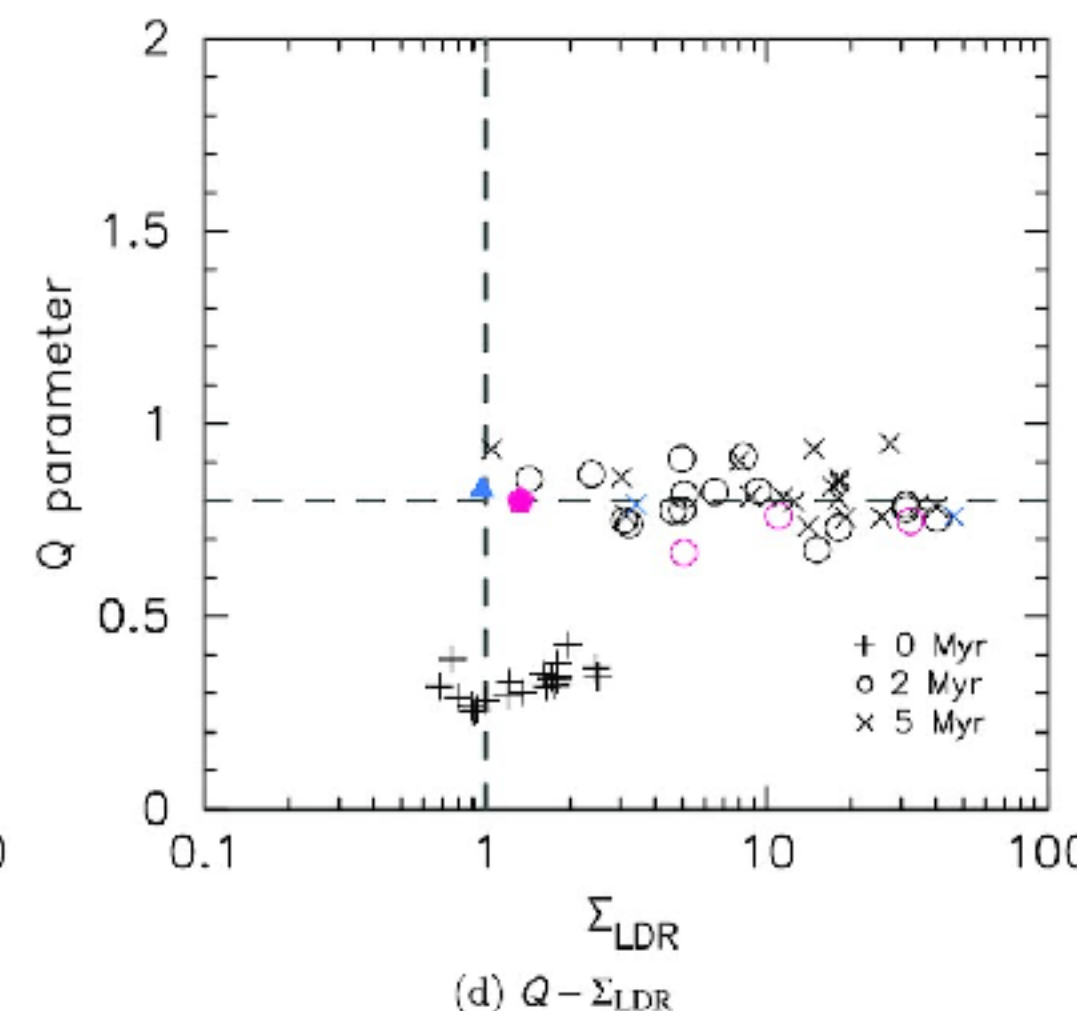


(b) Q -parameter

初期状態は
substructure
の度合いが
高く、(sub)
virial であつ
たはず

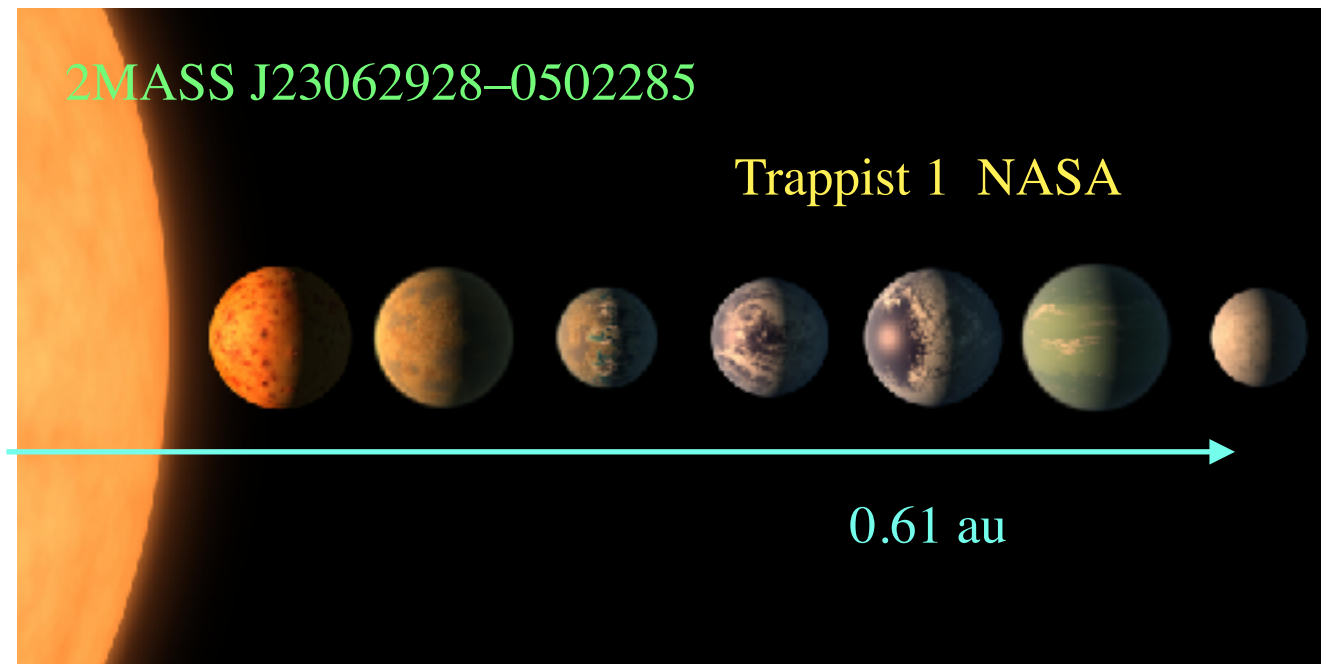


(c) $Q - \Lambda_{\text{MSR}}$



(d) $Q - \Sigma_{\text{LDR}}$

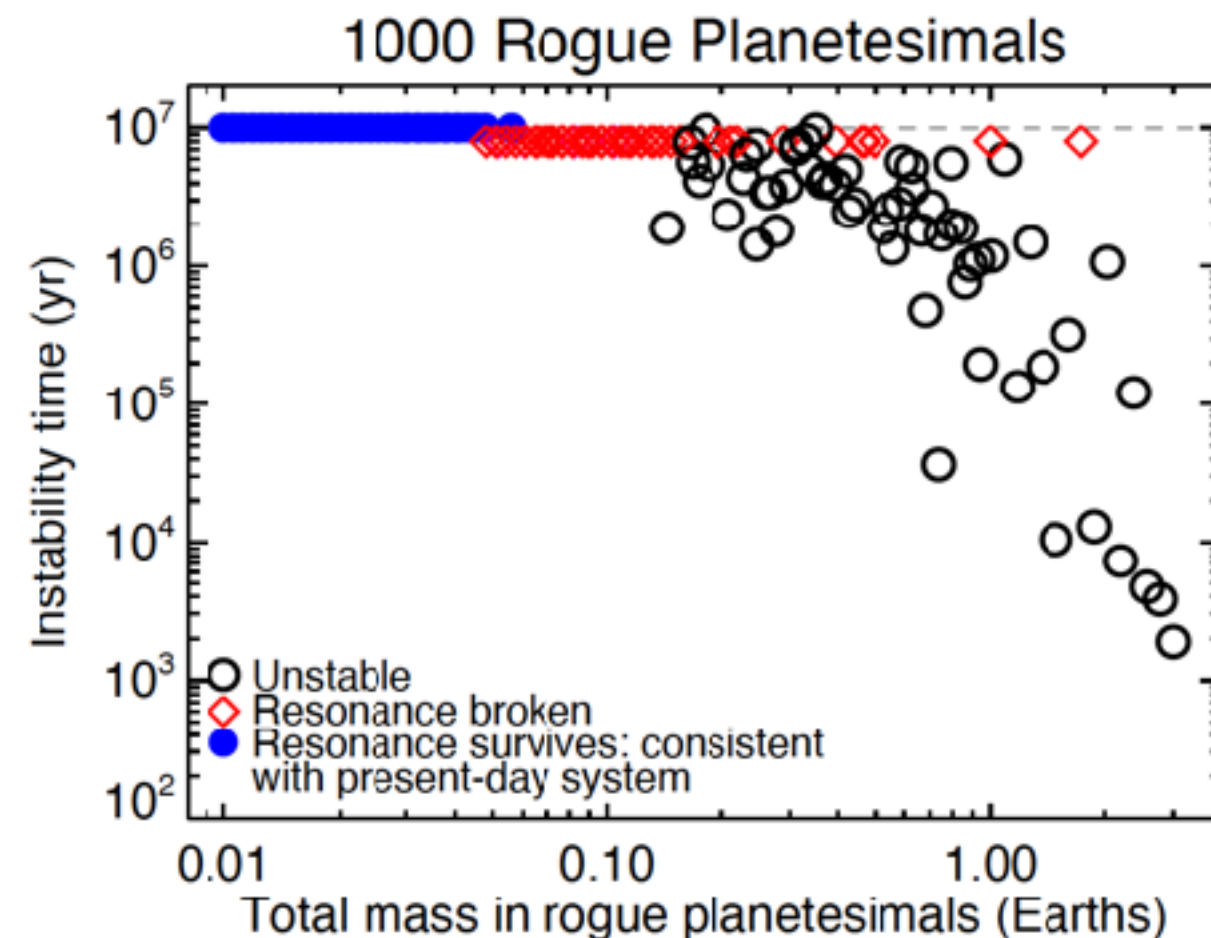
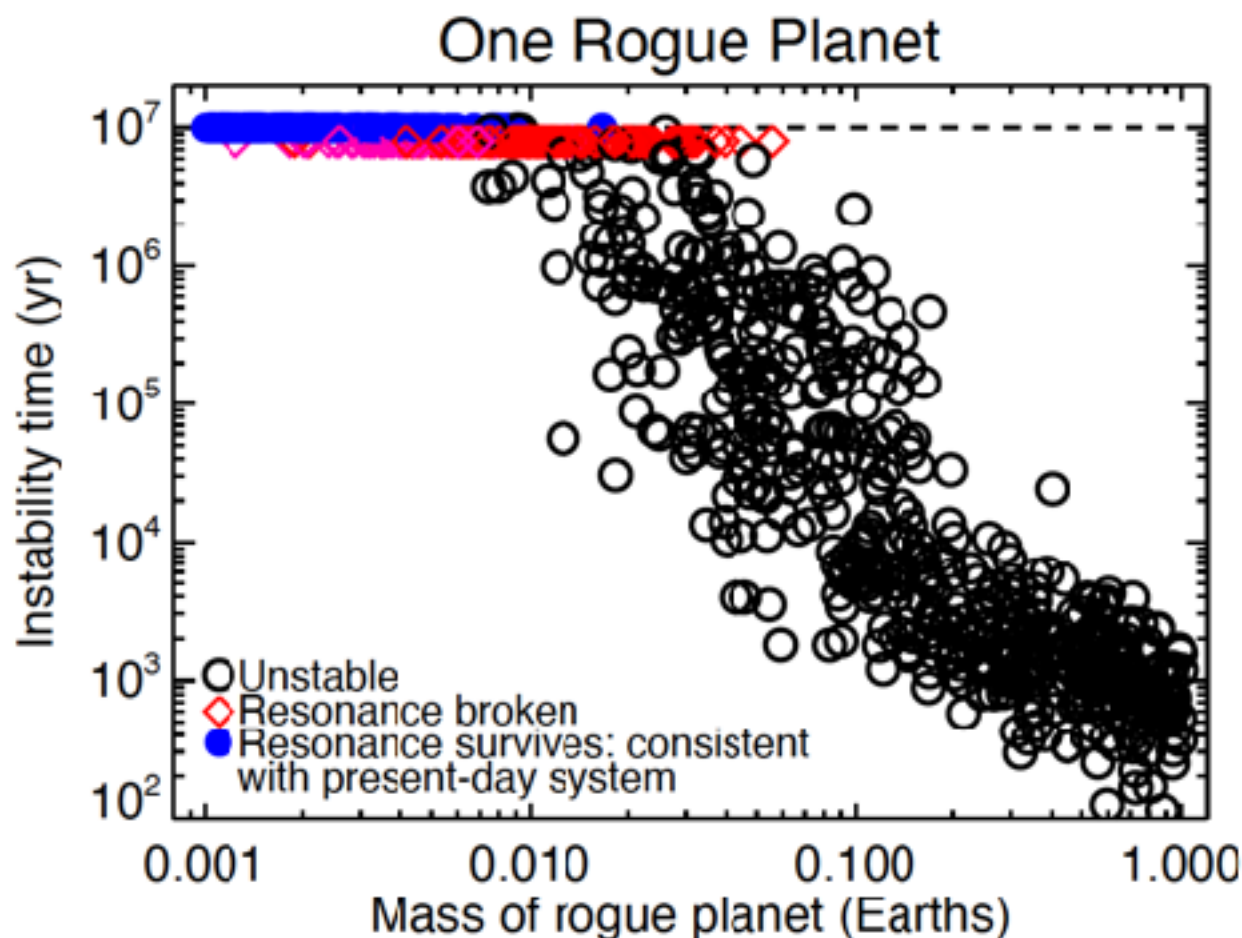
No. 21 An upper limit on late accretion and water delivery in the Trappist-1 exoplanet system, S.N. Raymond et al. Nature Astronomy, 6, 80 (2022)



Transiting Planets and Planetesimals
Small Telescope
 $d = 12 \text{ pc}$,
コンパクトな惑星系
共鳴軌道 8:5, 5:3, 3:2, 3:2, 4:3, 3:2
外から微惑星が乱入したら共鳴が
壊れる → 共鳴を保つ静穩な環境 →
水が供給されない

| Planet | Mass (M_{\oplus}) | Radius (R_{\oplus}) | Semimajor Axis a (AU) | Eccentricity e | Longitude of periastron ϖ (°) | Mean Anomaly M (°) |
|-------------------------|-----------------------|-------------------------|-------------------------|------------------|--------------------------------------|----------------------|
| Fiducial (Set 1) | | | | | | |
| b | 1.3925 | 1.1174 | 0.011551 | 0.002344 | 253.61247 | 105.78489 |
| c | 1.2943 | 1.0967 | 0.015820 | 0.001224 | 132.62793 | 54.89836 |
| d | 0.3958 | 0.7880 | 0.02229 | 0.005045 | 202.45580 | 171.39157 |
| e | 0.6824 | 0.9200 | 0.02930 | 0.007013 | 52.42997 | 30.97582 |
| f | 1.0634 | 1.0448 | 0.038551 | 0.008298 | 170.04247 | 247.44087 |
| g | 1.3464 | 1.1294 | 0.046896 | 0.003760 | 355.97714 | 87.27858 |
| h | 0.3198 | 0.7552 | 0.061963 | 0.003571 | 172.18673 | 118.58431 |

Rogue planetesimal: (1) 単一の微惑星が落下, (2) 多数の微惑星の落下

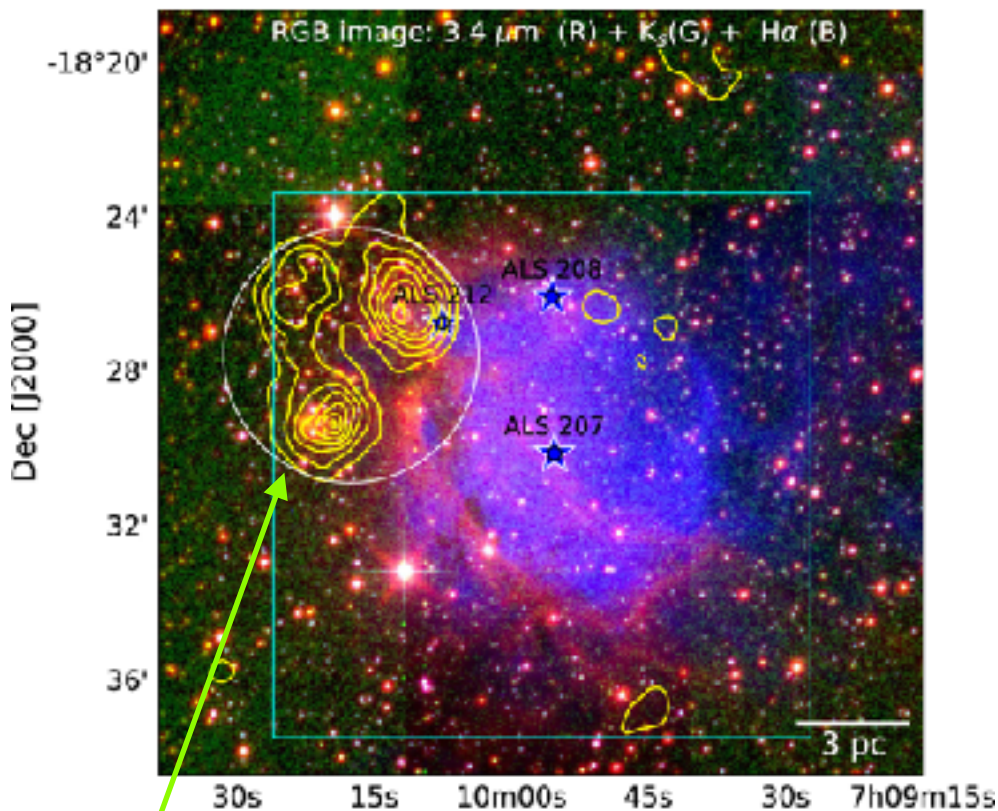


| Planet | Orbital radius (AU) | Maximum bombardment mass (M_{\oplus}) | Maximum water delivered (Earth oceans) |
|--------|------------------------|----------------------------------------------|-------------------------------------------|
| b | 0.0115 | 0.00038 | 0.15 |
| c | 0.0158 | 0.0015 | 0.64 |
| d | 0.0223 | 0.0016 | 0.68 |
| e | 0.0293 | 0.0035 | 1.54 |
| f | 0.0385 | 0.008 | 3.41 |
| g | 0.0469 | 0.018 | 7.62 |
| h | 0.0620 | 0.012 | 6.16 |

No. 20 Sh 2-301: a blistered Hii region undergoing star formation, R. Pandey et al., ApJ, 926, 22 (2022)

Fig. 11

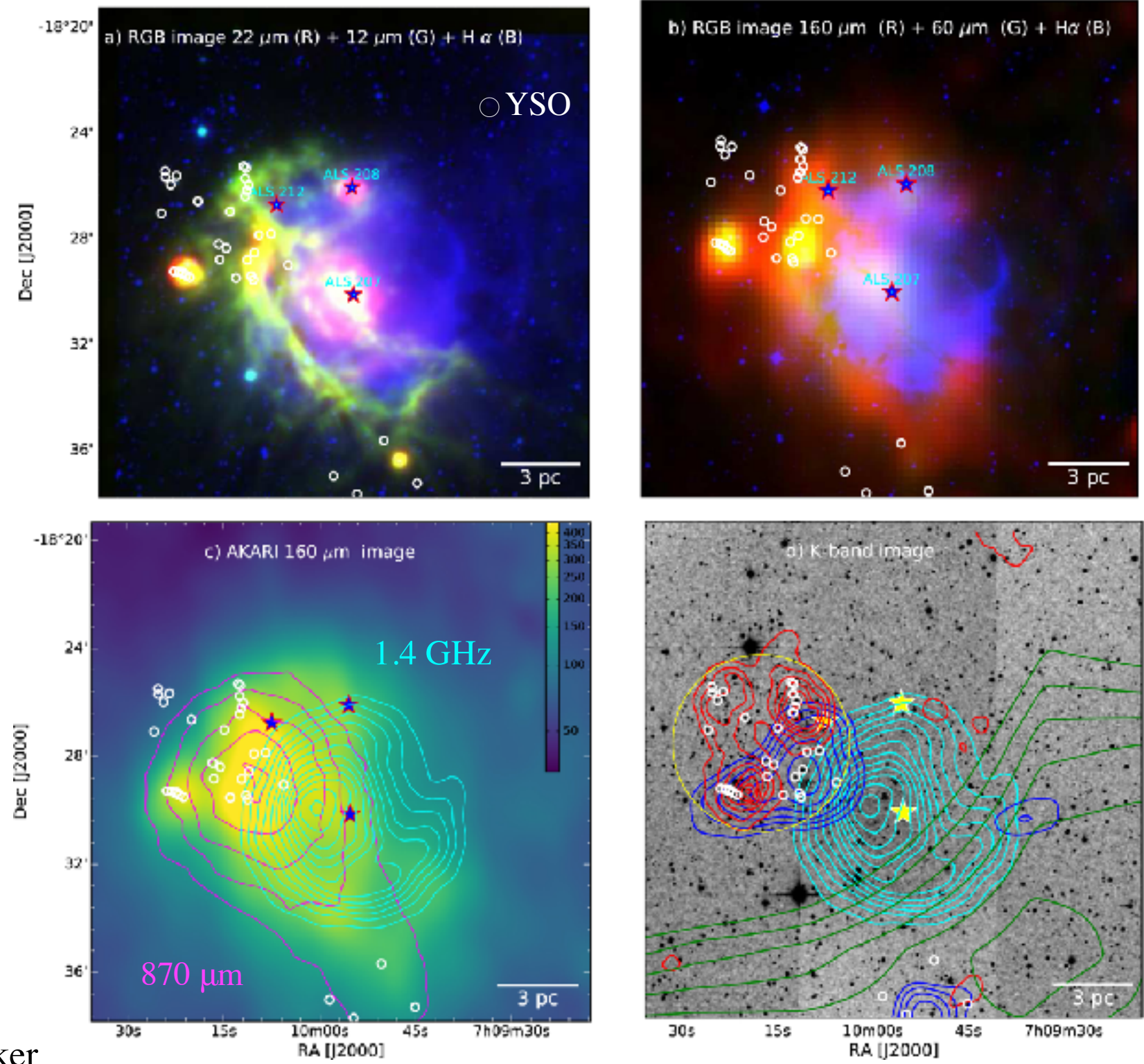
Fig. 1

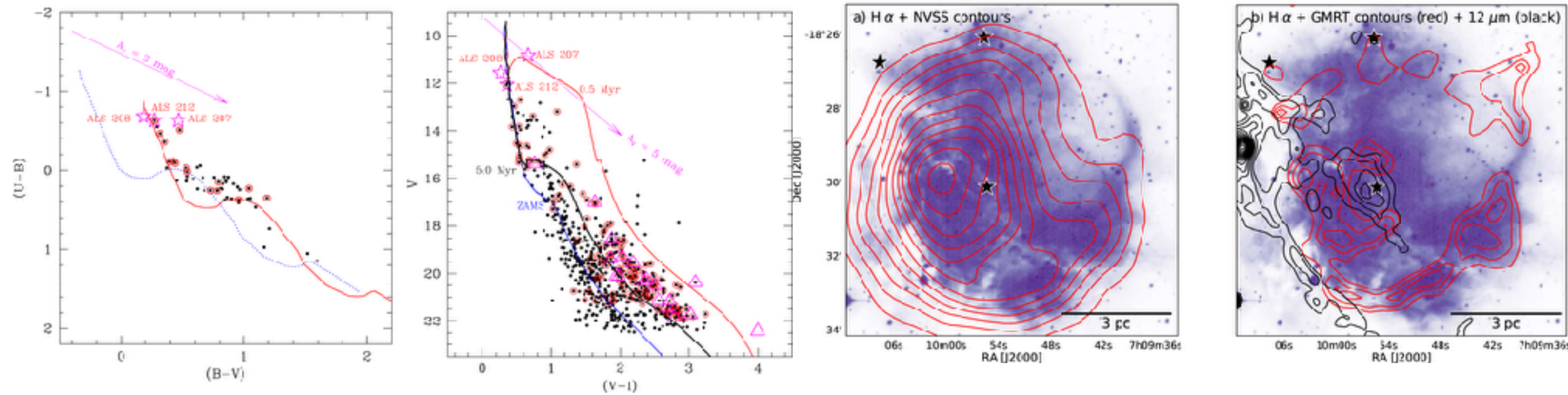


ALS 207 O6.5V
5 Myr
ALS 208 B1III
ALS 212 B1V
若い ~ 1.5 Myr

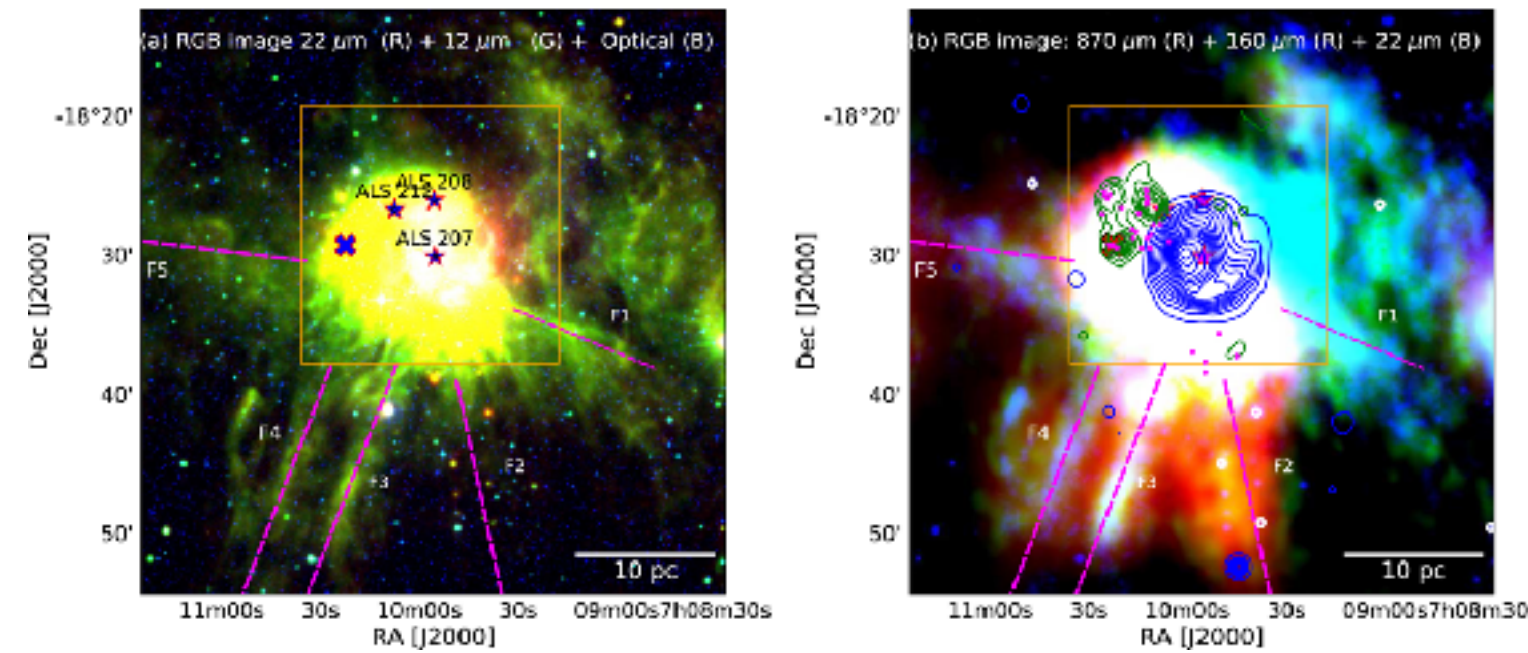
NE cluster
星の面密度

撮像と分光($\lambda/\Delta\lambda=1200$)はインドの望遠鏡
2MASS, Spitzer, AKARI, WISE, Planck, Parker





- NE cluster 194 メンバー 距離は
3.54 kpc Sh 2-301 と同じ
ALS 207により trigger され形成
- Sh 2-301 の従来の距離 5.8 kpc は
過大評価 (赤化側が異常 $R_V = 3.7$)
- Mass function $N \propto M^{-0.87 \pm 0.07}$
($0.4 < M/M_\odot < 7$) やや平坦
- NW側はガス密度が極端に低い
- ALS 207からのUVは漏れている
- ALS 207はHFS で出来た(かも)



No. 22 A new method for measuring the 3D turbulent velocity dispersion of molecular clouds, M. Stewart & C. Federrath, MNRAS, 509, 5237 (2022)

観測された線幅から乱流の強さを見積もる方法の開発

速度分散で視線方向の成分だけが見える。 $\sqrt{3}$ 倍するだけで良い??

$$\sigma_{i,\text{los}} = \sqrt{\frac{\sum_p \sigma_{v_{\text{los}}, p}^2}{N_p}}, \quad \sigma_{v_{\text{los}}, p} = \left(\langle v_{\text{los}}^2 \rangle_p - \langle v_{\text{los}} \rangle_p^2 \right)^{\frac{1}{2}} \quad \forall p. \quad \langle v_{\text{los}} \rangle_p = \frac{\sum_{i=1}^{N_{\text{los}}} \rho_i v_{\text{los}, i}}{\sum_{i=1}^{N_{\text{los}}} \rho_i} \quad \forall p, \quad \langle v_{\text{los}}^2 \rangle_p = \frac{\sum_{i=1}^{N_{\text{los}}} \rho_i v_{\text{los}, i}^2}{\sum_{i=1}^{N_{\text{los}}} \rho_i} \quad \forall p.$$

著者がお薦めの推定法

$$\sigma_{(\text{p-grad}), \text{los}}^2 = \sigma_{i, \text{los}}^2 + \sigma_{(\text{c-grad}), \text{los}}^2.$$

天球面での速度勾配

$$\sigma_{(\text{c-grad}), \text{los}}, \quad (\langle v_{\text{los}} \rangle - \text{grad}_{\text{los}})_p = \langle v_{\text{los}} \rangle_p - \text{grad}_{\text{los}, p},$$

$$\text{grad} = a + bx + cy$$

